

последним уравнением даст возможность найти $\rho_{J-1,1}$. Затем идем в обратную сторону: из последнего из упомянутых соотношений, зная $\rho_{J-1,1}$, находим $\rho_{J-2,1}$; из предшествующего соотношения, зная уже $\rho_{J-2,1}$, находим $\rho_{J-3,1}$ и т. д., вплоть до ρ_{11} . Эту схему вычислений легко записать в виде рекуррентных соотношений, удобных для применения ЭЦВМ. При $n=2$ в системе (9) надо все вторые индексы увеличить на 1, в результате чего в правых частях появятся найденные значения ρ_{j1} , а в остальном схема вычислений останется прежней.

Таким путем можно произвольно увеличивать n , т. е. получить приближенные значения решения для любых значений $t > 0$.

Упражнения

1. Исходя из результатов, приведенных на рис. 107, найдите решение задачи рис. 104 с точностью до 0,01; сколько потребовалось добавочных итераций?

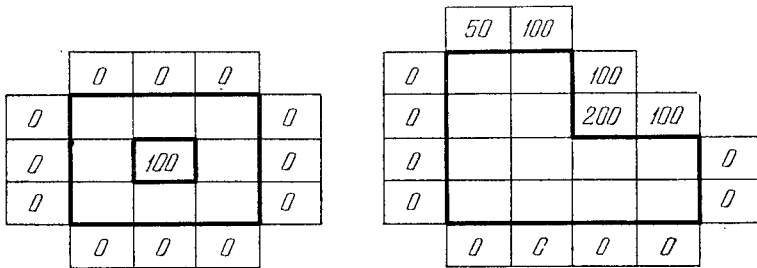


Рис. 108.

2. Найдите решение системы (2) с точностью до единицы для сеточных областей и граничных значений, показанных на рис. 108.

ОТВЕТЫ И РЕШЕНИЯ

§ 1

Уравнение (1.8), где $\kappa = \alpha h^2 / \tau$.

§ 2

1. Ah^2 ; $Ah^3/3$; $2Ah^3$; $\sqrt{\pi} Ah^3/4$.

2. $\frac{\partial \rho}{\partial t} = 0$; $\rho(x, t) \equiv \rho_0(x)$. При данном ядре частицы не переносятся вдоль оси x , поэтому распределение плотности не зависит от t .

3. $\frac{\partial \rho}{\partial t} = A \frac{\partial \rho}{\partial x}$; $\rho(x, t) = \rho_0(x + At)$. Система «перекачивает» частицы без рассеивания за время dt на расстояние $A dt$ в отрицательном направлении оси x .

4. $\frac{\partial \rho}{\partial t} = A \frac{\partial^2 \rho}{\partial x^2}$. После подстановки в правую часть (2.4) разложения (2.7) и выполнения интегрирования в упражнении 2 остается только первый член разложения, а в упражнении 4 — только третий.

5. Уравнение (2.4) приобретает вид

$$\frac{\partial \rho}{\partial t} = \frac{1}{2\tau} [\rho(x-h, t) + \rho(x+h, t)] - \frac{1}{\tau} \rho(x, t).$$

Заменяя $\frac{\partial \rho}{\partial t}$ на $\frac{\rho(x, t+\tau) - \rho(x, t)}{\tau}$, получаем соотношение (1.9).

$$6. \int_{-\infty}^{\infty} \xi^n K_1(|\xi|) d\xi = \int_{-\infty}^{\infty} \xi^n K(|\xi|) d\xi \quad (n=2, 4, 6, \dots),$$

$$\int_{-\infty}^{\infty} \xi^n K_1(|\xi|) d\xi = 0 \quad (n=0, 1, 3, 5, \dots).$$

§ 3

1. Умножив обе части равенства $\nabla^2 u(P) \approx \frac{6}{r^2} [\bar{u}_{P,r} - u(P)]$ на r^4 , а затем интегрируя по r , получаем, что

$$\nabla^2 u(P) = \lim_{r \rightarrow 0} \frac{10}{r^2} [\bar{u}_{P,r} - u(P)],$$

где под $\bar{u}_{P,r}$ понимается среднее значение функции u по шару с центром в точке P и радиусом r .

2. $\rho'_t(P, t) = A \int_{QP < h} \rho(Q, t) dQ - \frac{4}{3} \pi h^3 A \rho(P, t)$. Полагая $A = \frac{15\kappa}{2\pi h^5}$,

получаем при $h \rightarrow 0$ уравнение (3.9).

§ 4

1. $\frac{d}{dt} \int \rho(x, t) dx = \int f(x, t) dx$.

2. $\int x^3 \rho dx = \int x^3 \rho dx |_{t=t_0} + 6\kappa \int x \rho dx (t-t_0)$. Обозначив для краткости $\int x^n \rho dx = M_n$, получаем рекуррентное соотношение $\frac{dM_n}{dt} = \kappa n(n-1) M_{n-2}$ ($n \geq 2$), из которого находим $M_n = M_{n_0} + \kappa n(n-1) M_{n-2, 0} (t-t_0) + \kappa^2 n(n-1)(n-2)(n-3) M_{n-4, 0} \frac{(t-t_0)^2}{2!} + \dots$, где $M_{n_0} = M_n |_{t=t_0}$, а сумма в правой части обрывается на члене с M_0 или с M_1 в зависимости от того, будет ли n четным или нечетным.

§ 6

1. $\rho = \frac{M}{2\sqrt{\pi\kappa(t-t_0)}(b-a)} \int_a^b e^{-(x-\xi)^2/4\kappa(t-t_0)} d\xi =$

$$= \frac{M}{2(b-a)} \left[\Phi\left(\frac{b-x}{\sqrt{2\kappa(t-t_0)}}\right) - \Phi\left(\frac{a-x}{\sqrt{2\kappa(t-t_0)}}\right) \right].$$

2. $\rho = \frac{1}{2\sqrt{\pi\kappa(t-t_0)}} \int_a^b e^{-(x-\xi)^2/4\kappa(t-t_0)} (\alpha\xi + \beta) d\xi$. Представив $\alpha\xi + \beta = |(\alpha x + \beta) - \alpha(x - \xi)|$ и раскрыв квадратные скобки, получаем

$$\rho = \frac{\alpha x + \beta}{2} \left[\Phi\left(\frac{b-x}{\sqrt{2\kappa(t-t_0)}}\right) - \Phi\left(\frac{a-x}{\sqrt{2\kappa(t-t_0)}}\right) \right] + \alpha \sqrt{\frac{\kappa(t-t_0)}{\pi}} [e^{-(x-a)^2/4\kappa(t-t_0)} - e^{-(x-b)^2/4\kappa(t-t_0)}].$$

3. $\rho = \frac{\alpha}{2\sqrt{\pi\kappa(t-t_0)}} \int_{-\infty}^{\infty} \exp\left[-\frac{(x-\xi)^2}{4\kappa(t-t_0)} - \beta\xi^2\right] d\xi$. Располагая выражение в квадратных скобках по степеням ξ и производя дополнение до полного квадрата, получаем

$$\rho = \frac{\alpha}{\sqrt{1+4\beta\kappa(t-t_0)}} e^{-\beta x^2/[1+4\beta\kappa(t-t_0)]}.$$

§ 9

Все $\xi_i^- = \frac{1}{n} \xi$, поэтому $\Phi(k) = \frac{1}{2\pi} (1 - \frac{i}{n} k \bar{\xi} - \frac{1}{2n} k^2 \Delta_{\xi}^2 + \dots)$, $F(k) = \frac{1}{2\pi} e^{-i\bar{\xi}k - \Delta_{\xi}^2 k^2/2}$, $f(x) = \frac{1}{2\pi} \int e^{-(\Delta_{\xi}^2/2)k^2 + i(x-\bar{\xi})k} dk$. Получилось выражение вида (9.6) с $x - \bar{\xi}$ вместо x ; отсюда и следует (9.7).

§ 10

Для процесса блуждания, однородного во времени, но неоднородного по x , функция влияния $G = G(x, \xi, t - t_0)$. Полугрупповое соотношение, взамен (10.2), приобретает вид

$$G(x, \xi, t_1 + t_2) = \int_{-\infty}^{\infty} G(x, x_1, t_2) G(x_1, \xi, t_1) dx_1 \quad (t_1, t_2 > 0).$$

§ 11

1. Для любых граничных условий $\frac{dM_2}{dt} = 2\kappa \int_0^{\infty} \rho dx$. Поэтому для граничных условий 1-го или 3-го рода $M_2(t)$ замедленно возрастает, а для условий 2-го рода — возрастает по линейному закону

2. Для условия 1-го рода $\rho = \frac{\rho_0}{2} \left[2\Phi\left(\frac{x}{\sqrt{2\kappa t}}\right) - \Phi\left(\frac{x-a}{\sqrt{2\kappa t}}\right) - \Phi\left(\frac{x+a}{\sqrt{2\kappa t}}\right) \right]$; момент 1-го порядка, после интегрирования по частям, преобразуется к виду

$$M_1 = \frac{\rho_0}{4\sqrt{\pi\kappa t}} \left[\int_0^{\infty} x^2 e^{-(x-a)^2/4\kappa t} dx + \int_0^{\infty} x^2 e^{-(x+a)^2/4\kappa t} dx - 2 \int_0^{\infty} x^2 e^{-x^2/4\kappa t} dx \right].$$

Если сделать в первом интеграле замену x на $x+a$, а во втором на $x-a$, то после простых преобразований получаем, что

$$M_1 = \frac{\rho_0}{2\sqrt{\pi\kappa t}} a^2 \int_0^\infty e^{-x^2/4\kappa t} dx = \frac{1}{2} \rho_0 a^2.$$

Для условия 2-го рода $\rho = \frac{\rho_0}{2} \left[\Phi\left(\frac{x+a}{\sqrt{2\kappa t}}\right) - \Phi\left(\frac{x-a}{\sqrt{2\kappa t}}\right) \right]$; инвариантность

массы проверяется аналогично.

3. $\rho = \frac{1}{\sqrt{t}} e^{-x^2/4\kappa t} \left(\frac{1}{t} - \frac{x^2}{2\kappa t^2} \right).$

4. В силу (11.10) $\sum_{j=1}^\infty j p_{j, n+1} = \sum_{j=2}^\infty \frac{1}{2} j (p_{j-1, n} + p_{j+1, n}) + \frac{1}{2} p_{2, n}.$

Разбивая в правой части сумму на две и заменяя в первой j на $j+1$, а во второй на $j-1$, получаем, что

$$\begin{aligned} \sum_{j=1}^\infty j p_{j, n+1} &= \frac{1}{2} \sum_{j=1}^\infty (j+1) p_{j, n} + \frac{1}{2} \sum_{j=3}^\infty (j-1) p_{j, n} + \frac{1}{2} p_{2, n} = \\ &= \sum_{j=3}^\infty j p_{j, n} + \frac{1}{2} (2p_{1, n} + 3p_{2, n}) + \frac{1}{2} p_{2, n} = \sum_{j=1}^\infty j p_{j, n}. \end{aligned}$$

Таким образом, рассматриваемая сумма не зависит от n . Но при $n=0$ она равна j_0 , откуда и следует наше утверждение. Для чисел, приведенных в таблице 2, сумма принимает последовательные значения: 3000, 3000, 3000, 3000, 2997, 2996, 3001 и т. д.; непостоянство объясняется ошибками округления, сама по себе конечность h не вызывает ошибки.

Т а б л и ц а 2

5.

n	1	2	3	4	5	6	7	8	9
$\mathcal{N}_{ас}$	2394	1690	1381	1197	1070	977	904	845	798
$\mathcal{N}_{ист}$	1000	1000	875	875	781	781	712	713	659
$\mathcal{N}_{ас} : \mathcal{N}_{ист}$	2,39	1,69	1,58	1,37	1,37	1,25	1,27	1,18	1,21

Видно, что $\mathcal{N}_{ас} : \mathcal{N}_{ист}$ приближается к единице, хотя и не монотонно.

6. Дополнительное условие при игре: если у игрока остается 1 рубль, то в очередной игре этот игрок обязательно выигрывает. Соответствующая таблица 3:

Таблица 3

$n \backslash j$	1	2	3	4	5	6	7	8	9	10	11	12
0	0	0	1000	0	0	0	0	0	0	0	0	0
1	0	500	0	500	0	0	0	0	0	0	0	0
2	250	0	500	0	250	0	0	0	0	0	0	0
3	0	500	0	375	0	125	0	0	0	0	0	0
4	250	0	438	0	250	0	62	0	0	0	0	0
5	0	464	0	344	0	156	0	31	0	0	0	0
6	234	0	406	0	250	0	94	0	16	0	0	0
7	0	437	0	328	0	172	0	55	0	8	0	0
8	218	0	384	0	250	0	114	0	32	0	4	0
9	0	410	0	317	0	182	0	73	0	18	0	2

§ 12

$$\rho(r, t) = C_0(t) + C_2(t)r^2 + C_4(t)r^4 + \dots$$

§ 13

$$1. \sum_{j=-\infty}^{\infty} [G(x, t; 2jl + \xi, 0) + G(x, t; 2jl - \xi, 0)] =$$

$$= \frac{1}{2\sqrt{\pi\kappa t}} \sum_{j=-\infty}^{\infty} [e^{-(x-2jl-\xi)^2/4\kappa t} + e^{-(x-2jl+\xi)^2/4\kappa t}].$$

2. $M(t) = M(0) - \kappa [\rho'(0) - \rho'(l)]t$. Это можно получить либо с помощью повторного интегрирования по частям в формуле (13.6) и последующего удвоения результата, либо с помощью формулы (1.7) после продолжения плотности $\rho_0(x)$ на всю ось x .

§ 14

$$1. \rho(x, t) = \sum_{m=0}^{\infty} a_m e^{-(m^2\pi^2\kappa/l^2)t} \cos \frac{m\pi}{l}x, \quad \text{где } a_0 = \frac{1}{l} \int_0^l \rho_0(x) dx, \quad a_m =$$

$$= \frac{2}{l} \int_0^l \rho_0(x) \cos \frac{m\pi}{l}x dx \quad (m \geq 1); \quad \rho(x, \infty) \equiv a_0.$$

$$2. 2 \sum_{m=1}^{\infty} \sin k_m \xi \cdot \left(l + \frac{\kappa}{8} \cos^2 k_m l \right)^{-1} \sin k_m x \cdot e^{-\kappa k_m^2 t}.$$

$$3. \text{ Имеем } G_l(x, t; \xi, 0) = \sum_{m=1}^{\infty} B_m(t, \xi) \sin \frac{m\pi}{l}x, \quad \text{где } B_m(t, \xi) =$$

$$= \frac{2}{l} \int_0^l \sum_{j=0}^{\infty} [G(x-2jl, t; \xi, 0) - G(2jl-x, t; \xi, 0)] \sin \frac{m\pi}{l}x dx. \quad \text{Преобразуя}$$

этот интеграл, как при переходе к (13.4), получаем

$$B_m = \frac{2}{l} \int_{-\infty}^{\infty} G(x, t; \xi, 0) \sin \frac{m\pi}{l} x dx.$$

(Можно было просто заметить, что функция $\rho_0(x) = \frac{2}{l} \sin \frac{m\pi}{l} x$ при своем продолжении с отрезка $0 \leq x \leq l$ на всю ось x по методу § 9 воспроизводит себя, после чего применить формулу (13.4).) Подставляя выражение (6.3) для G , после чего совершая замену $x - \xi = k$ и переходя от синуса к экспоненте, получаем

$$B_m = \frac{1}{l \sqrt{\pi \kappa t}} \operatorname{Im} \int_{-\infty}^{\infty} e^{-k^2/4\kappa t + (m\pi i/l)(k+\xi)} dk.$$

Применяя к этому интегралу равенство (7.6), получаем формулу

$$G_l(x, t; \xi, 0) = \frac{2}{l} \sum_{m=1}^{\infty} \sin \frac{m\pi}{l} \xi \sin \frac{m\pi}{l} x \cdot e^{-(m^2\pi^2\kappa/l^2)t},$$

из которой непосредственно следует формула (14.10).

§ 15

а) $\rho(x, t) = \int_0^{\infty} B(k) \sin kx \cdot e^{-\kappa k^2 t} dk, \quad B(k) = \frac{2}{\pi} \int_0^{\infty} \rho_0(x) \sin kx dx;$

б) $\rho(x, t) = \int_0^{\infty} A(k) \cos kx \cdot e^{-\kappa k^2 t} dk, \quad A(k) = \frac{2}{\pi} \int_0^{\infty} \rho_0(x) \cos kx dx.$

В обоих этих примерах спектр λ заполняет вещественную положительную полосу, а каждому собственному значению λ отвечает одна собственная функция.

§ 17

Пусть интенсивность поступления частиц равна q_0 единиц массы на единицу площади в единицу времени. Тогда решения соответственно равны

$$\frac{q_0}{\kappa}(l-x); \quad \frac{q_0 r'_0}{\kappa} \ln \frac{R'_0}{r'}; \quad \frac{q_0}{\kappa} r_0^2 \left(\frac{1}{r} - \frac{1}{R_0} \right).$$

§ 18

1. На основании формулы (11.6) получаем

$$\rho = \int_0^t G_1(x, t; a, t_0) s_0 dt_0 = \frac{s_0}{2 \sqrt{\pi \kappa}} \int_0^t \frac{1}{\sqrt{t-t_0}} [e^{-(x-a)^2/4\kappa(t-t_0)} - e^{-(x+a)^2/4\kappa(t-t_0)}] dt_0.$$

Заменяя переменную интегрирования по формуле $t-t_0 = \frac{1}{\eta^2}$ и полагая затем $t = \infty$, получаем

$$\rho(x, \infty) = \frac{s_0}{\sqrt{\pi \kappa}} \int_0^{\infty} \frac{1}{\eta^2} [e^{-(x-a)^2\eta^2/4\kappa} - e^{-(x+a)^2\eta^2/4\kappa}] d\eta.$$

Интегрируя по частям, находим

$$\rho(x, \infty) = \frac{s_0}{\sqrt{\pi\kappa}} \frac{1}{2\kappa} \int_0^\infty [-(x-a)^2 e^{-(x-a)^2 \eta^2/4\kappa} + (x+a)^2 e^{-(x+a)^2 \eta^2/4\kappa}] d\eta =$$

$$= \frac{s_0}{2\kappa} [-|x-a| + (x+a)] = \begin{cases} \frac{s_0}{\kappa} x & (0 \leq x \leq a), \\ \frac{s_0}{\kappa} a & (a \leq x < \infty). \end{cases}$$

$$2. \rho = \int_0^t G(x, t; 0, t_0) s_0 dt_0 = \frac{s_0}{2\sqrt{\pi\kappa}} \int_0^t \frac{1}{\sqrt{t-t_0}} e^{-x^2/4\kappa(t-t_0)} dt_0. \quad \text{После}$$

преобразования, как в предыдущем упражнении, мы получаем выражение

$$\rho(x, t) \sim \sqrt{\frac{t}{\pi\kappa}} e^{-x^2/4\kappa t} \rightarrow \infty \quad (t \rightarrow \infty).$$

Этот результат объясняется тем, что количество частиц, поступающих в систему, пропорционально t , тогда как интервал, на которой они «рассасываются», пропорционален лишь \sqrt{t} .

3. Надо решить уравнение диффузии на отрезке $0 \leq x \leq l$ при нулевом начальном условии и граничных условиях $\rho|_{x=0} = 0$, $\frac{\partial \rho}{\partial x}|_{x=l} = \frac{s_0}{\kappa}$. Полагая

$\tilde{\rho} = \rho - \frac{s_0}{\kappa} x$, получаем для $\tilde{\rho}$ дифференциальное уравнение и дополнительные условия

$$\frac{\partial \tilde{\rho}}{\partial t} = \kappa \frac{\partial^2 \tilde{\rho}}{\partial x^2}, \quad \tilde{\rho}|_{t=0} = -\frac{s_0}{\kappa} x, \quad \tilde{\rho}|_{x=0} = 0, \quad \frac{\partial \tilde{\rho}}{\partial x}|_{x=l} = 0.$$

Применяя метод Фурье, находим $\tilde{\rho}$, а потому и ρ :

$$\rho = \frac{s_0}{\kappa} x - \frac{8ls_0}{\pi^2\kappa} \sum_{m=1}^{\infty} \frac{1}{(2m-1)^2} \sin \frac{(2m-1)\pi x}{2l} e^{-[(2m-1)^2 \pi^2 \kappa / l^2] t}.$$

Отсюда, в частности, $\rho(x, \infty) = s_0 x / \kappa$.

4. Уравнение $\nabla^2 \int_{t_0}^\infty \rho dt = -\frac{1}{\kappa} [\rho|_{t=t_0} - \rho|_{t=\infty}] - \frac{1}{\kappa} \int_{t_0}^\infty s(x, t) dt$ вида (18.16). Для функции Грина G , полагая $t_0 = -\infty$, получаем, если $G|_{t=\infty} = 0$,

уравнение $\nabla^2 \int_{-\infty}^\infty G(P, t; Q, \tau) dt = -\frac{1}{\kappa} \delta(\vec{QP})$. Для функции Грина, указанной в упражнении, интеграл равен $\frac{1}{4\pi\kappa PQ}$, т. е. мы приходим к известной

формуле $\nabla^2 \frac{1}{PQ} = -4\pi\delta(\vec{QP})$ (см., например, ЭПМ, гл. X).

5. Если $\frac{\partial \rho}{\partial y}|_{y=\pm\infty} = 0$, $\frac{\partial \rho}{\partial z}|_{z=\pm\infty} = 0$, то

$$\frac{\partial \sigma}{\partial t} = \kappa \frac{\partial^2 \sigma}{\partial x^2} + \iint s dy dz.$$

§ 19

$$\rho(x, t) = \frac{1}{2\sqrt{\pi \kappa t}} \int_{-\infty}^{\infty} e^{-(x-2\gamma \kappa F_0 t - \xi)^2 / 4 \kappa t} \rho_0(\xi) d\xi.$$

§ 23

1. Полагая $\rho = \sigma_0 \frac{x}{l} \sin \frac{\pi}{l} y + C_1 \sin \frac{\pi}{l} x \sin \frac{\pi}{l} y$, получаем

$$I[\rho] = \int_0^l \int_0^l \left[\left(\frac{\sigma_0}{l} + C_1 \frac{\pi}{l} \cos \frac{\pi}{l} x \right)^2 \sin^2 \frac{\pi}{l} y + \left(\sigma_0 \frac{x}{l} + C_1 \sin \frac{\pi}{l} x \right)^2 \frac{\pi^2}{l^2} \cos^2 \frac{\pi}{l} y \right] dx dy = \frac{\pi^2}{2} C_1^2 + \pi \sigma_0 C_1 + \left(\frac{1}{2} + \frac{\pi^2}{6} \right) \sigma_0^2.$$

Из условия минимума $C_1 = -\frac{1}{\pi} \sigma_0$, откуда $I[\rho]_{\min} = \frac{\pi^2}{6} \sigma_0^2 = 1,645 \sigma_0^2$; значение

	40	80	120	
0	22,62	40,74	43,96	0
0	9,76	16,40	15,09	0
0	0	0		

а)

	0	0	0	
0	16	33	16	0
0	33	100	33	0
0	16	33	16	0
0	0	0		

б)

	50	100			
0	44	85	100		
0	42	96	200	100	
0	29	59	86	52	0
0	14	26	33	21	0
0	0	0	0		

в)

Рис. 109.

решения в центре квадрата $\rho_{\text{ц}} = 0,1817 \sigma_0$. При другой базисной функции получаем

$$\rho = \sigma_0 \left[\frac{x}{l} \sin \frac{\pi}{l} y - \frac{15}{\pi} \frac{x}{l} \left(1 - \frac{x}{l} \right) \frac{y}{l} \left(1 - \frac{y}{l} \right) \right],$$

$$I_{\min} = \left(\frac{1}{2} - \frac{5}{\pi^2} + \frac{\pi^2}{6} \right) \sigma_0^2 = 1,579 \sigma_0^2, \quad \rho_{\text{ц}} = 0,2016 \sigma_0.$$

Так как во втором случае I_{\min} получилось меньше, то естественно ожидать, что второе решение является более точным.

2. Утверждение вытекает из равенства $\frac{d}{dt} I[\rho] = -2\kappa \int_{(\Omega)} (\nabla^2 \rho)^2 d\Omega$, которое доказывается с помощью преобразований, аналогичных проведенным в тексте.

§ 24

1. Если принять рис. 109 за нулевое приближение, то 4-е приближение совпадает с 3-м и дает результат, показанный на рис. 109, *a*. Отметим, что описанный порядок действий, когда несколько первых приближений вычисляются с меньшей точностью, а последующие — с большей, часто оказывается целесообразным при «ручных» вычислениях.

2. См. рис. 109, *b* и *в*.